

沈む大地のメカニズム

地盤沈下を考える

豊田浩史

toyota@vos.nagaokaut.ac.jp

長岡技術科学大学 環境・建設系

内 容

- 沈下メカニズムの概要

内 容

- 沈下メカニズムの概要
- 粘土の圧密による沈下
 - 載荷(ピサの斜塔, 関西新国際空港)
 - 地下水汲み上げ(新潟地区)

内 容

- 沈下メカニズムの概要
- 粘土の圧密による沈下
 - 載荷(ピサの斜塔, 関西新国際空港)
 - 地下水汲み上げ(新潟地区)
- 地下建設による沈下
 - ロンドンの地下鉄拡張工事

内 容

- 沈下メカニズムの概要
- 粘土の圧密による沈下
 - 載荷(ピサの斜塔, 関西新国際空港)
 - 地下水汲み上げ(新潟地区)
- 地下建設による沈下
 - ロンドンの地下鉄拡張工事
- 液状化による沈下
 - 兵庫県南部地震

沈下メカニズムの概要(1)

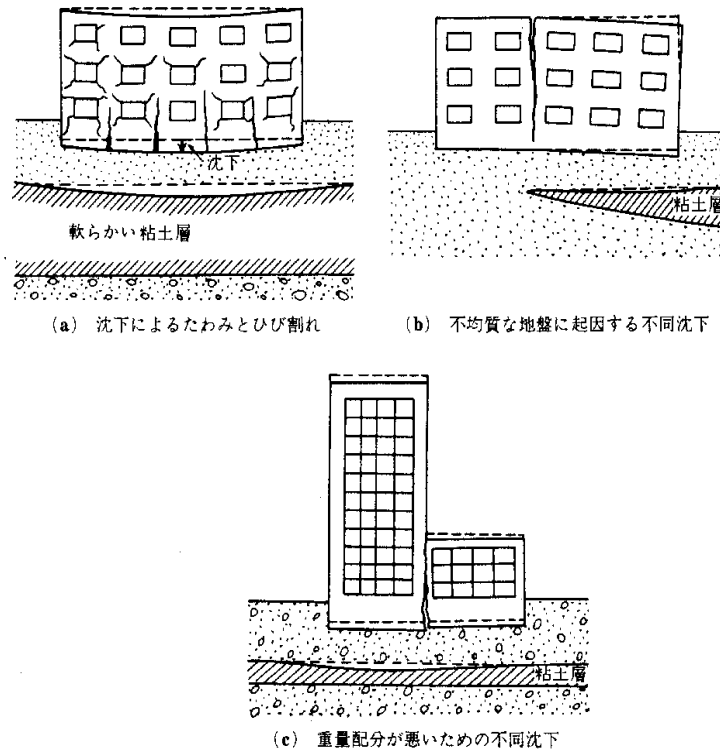


図-1.5 沈下が引き起こす建物の損傷

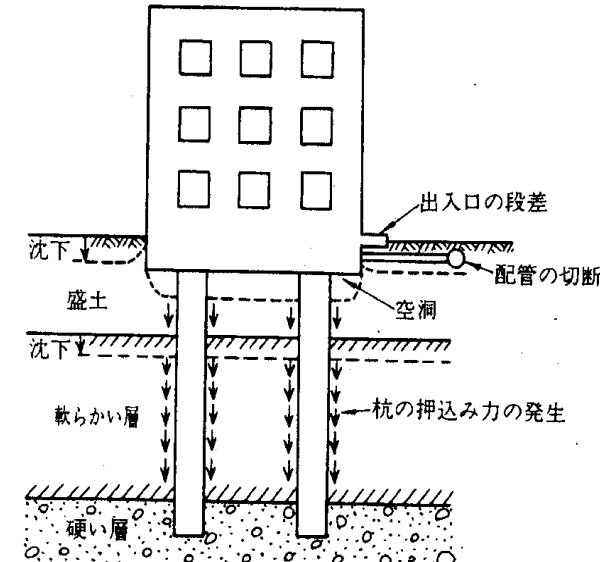
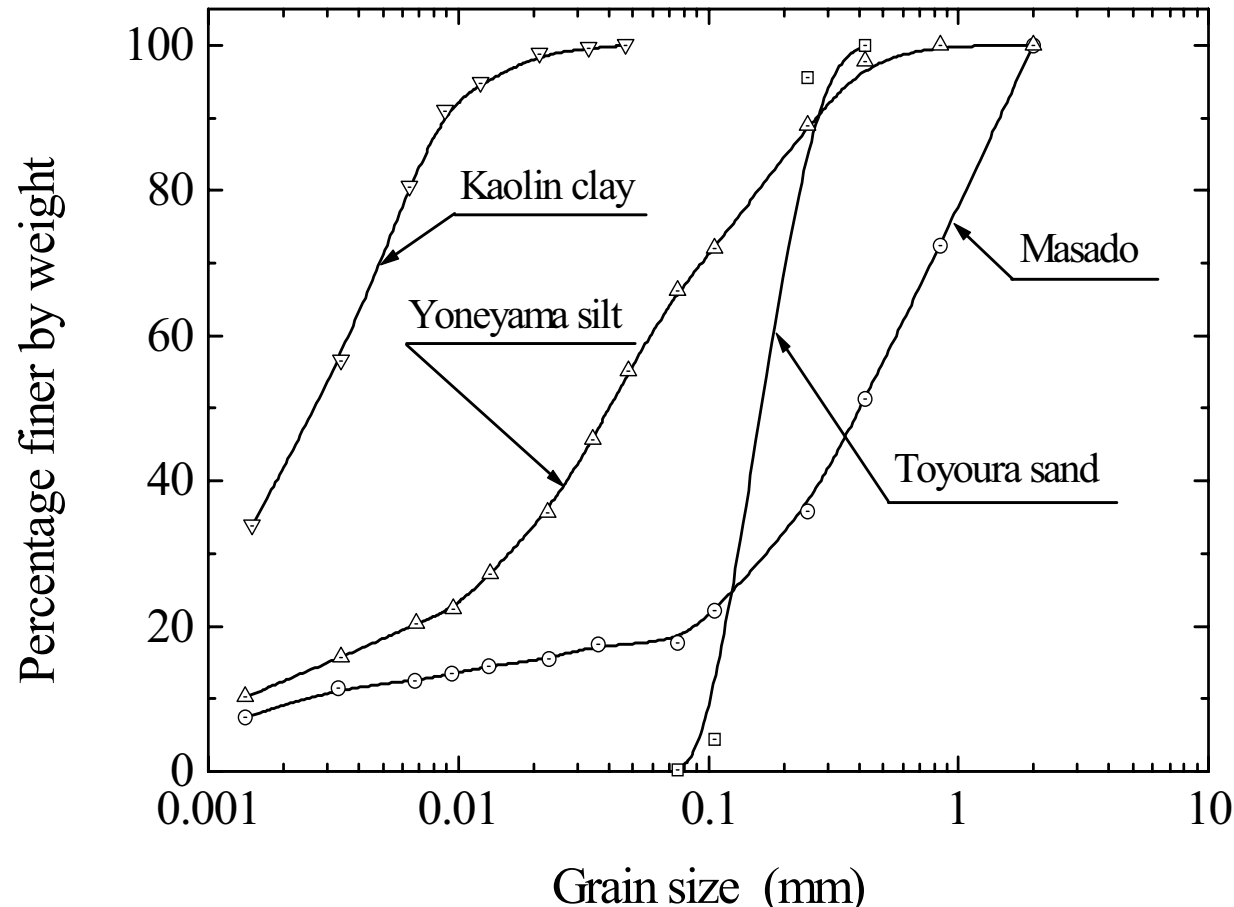


図-1.6 沈下が引き起こす障害

(土の圧密入門, (社) 地盤工学会)

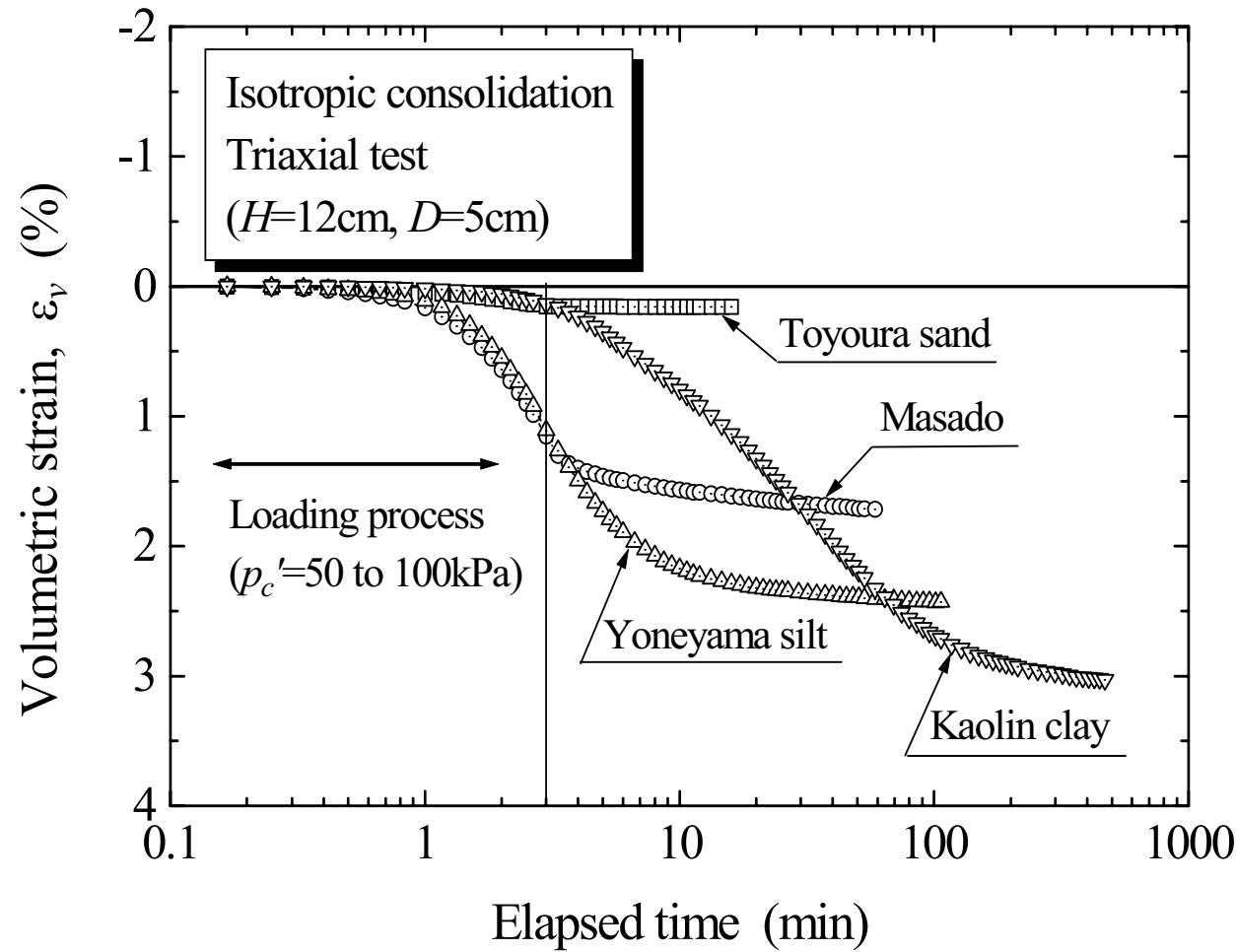
地盤沈下による構造物への被害

沈下メカニズムの概要(2)



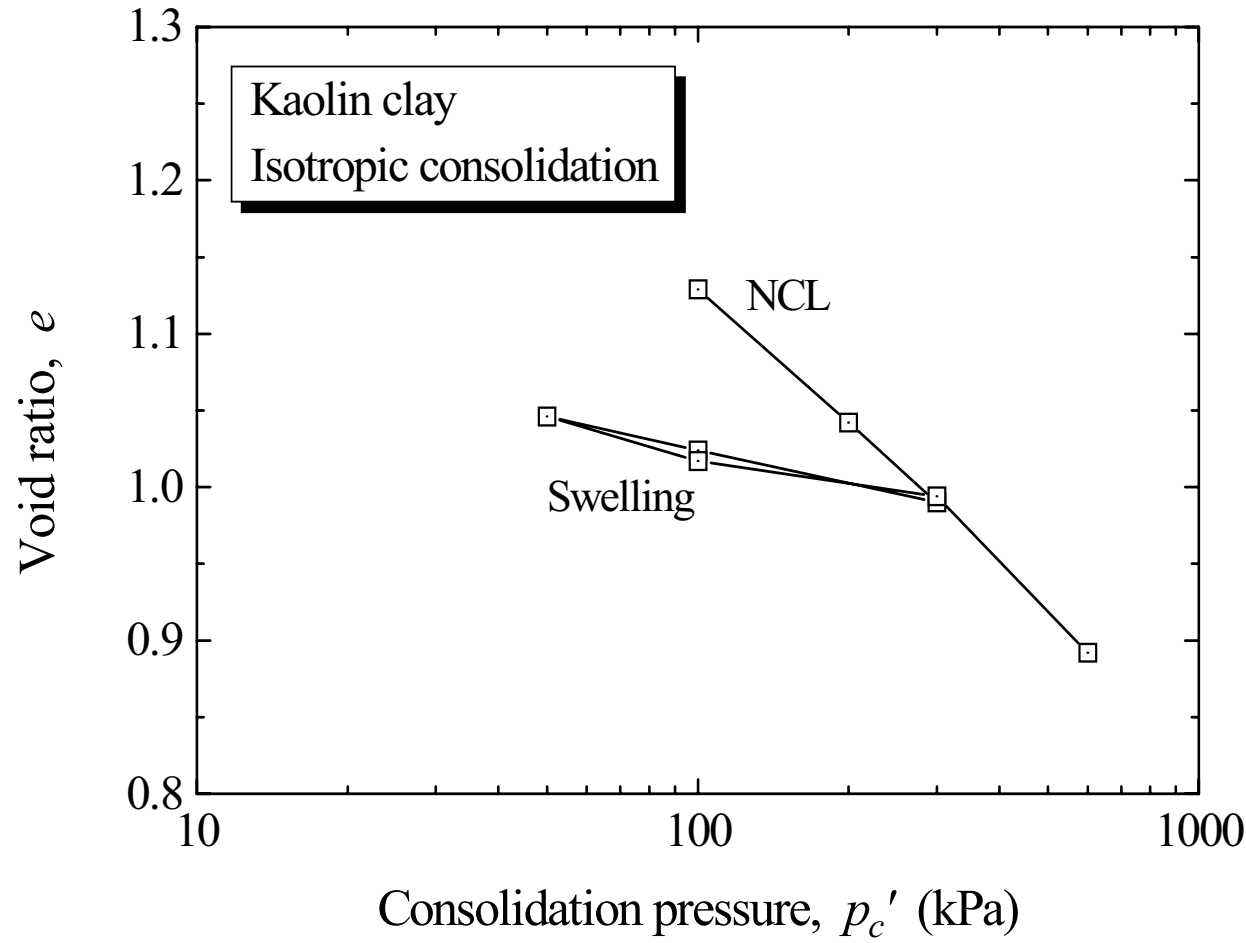
試料の粒径加積曲線

沈下メカニズムの概要(3)



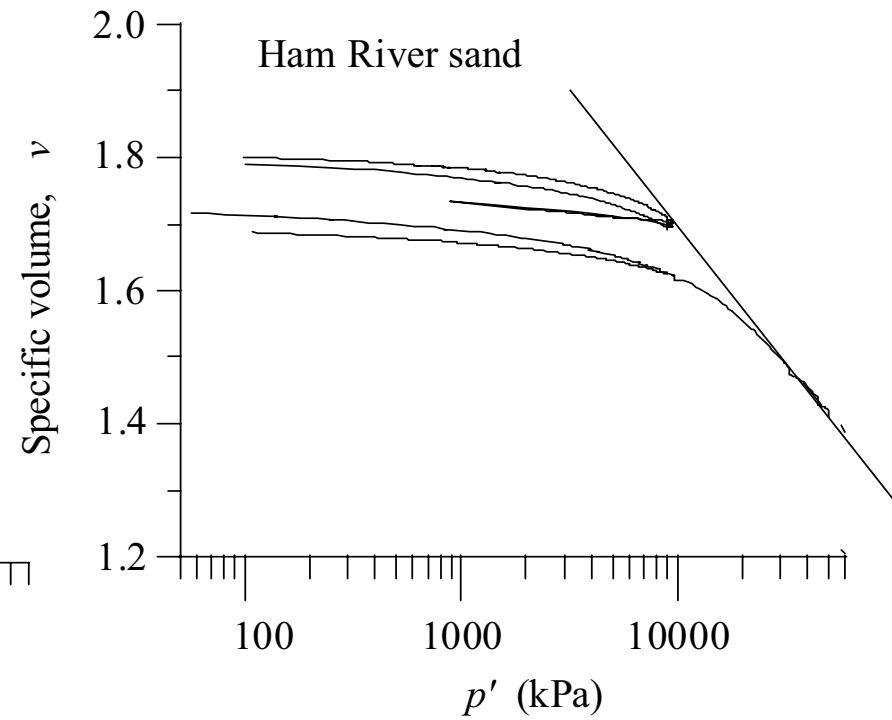
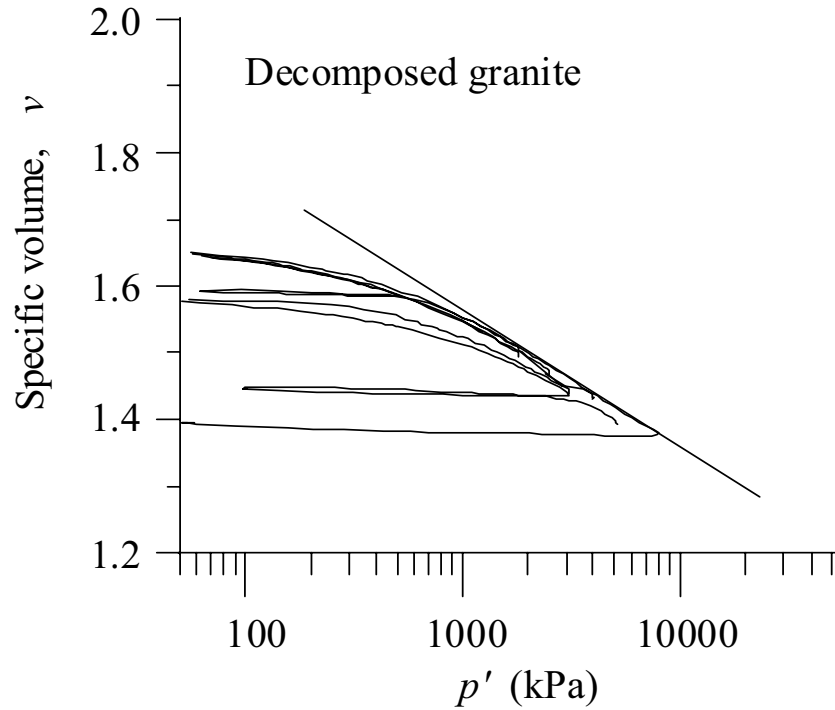
圧密量と圧密時間

沈下メカニズムの概要(4)



カオリン粘土の圧密曲線

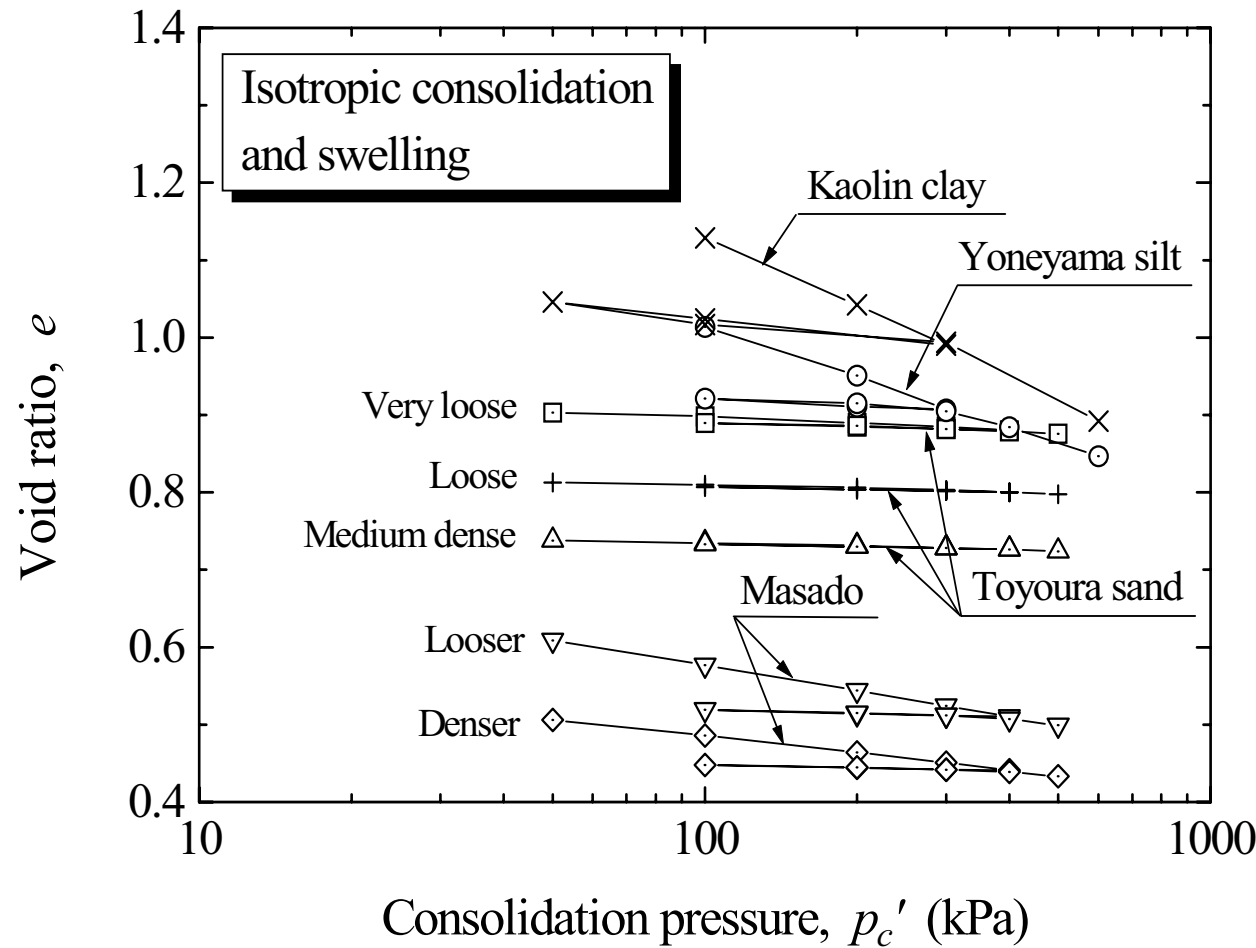
沈下メカニズムの概要(5)



(Coop and Lee, 1993)

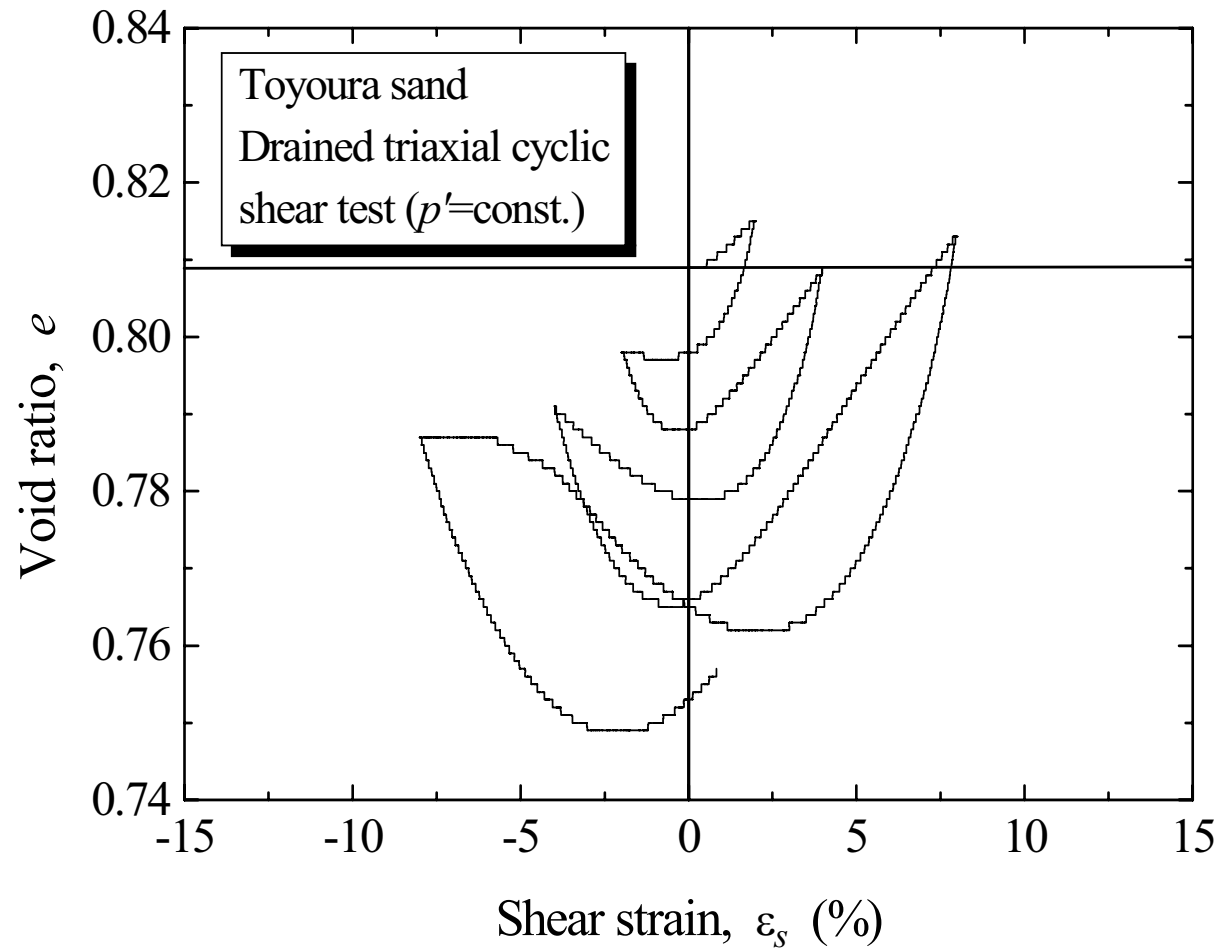
砂質土の高圧圧密

沈下メカニズムの概要(6)



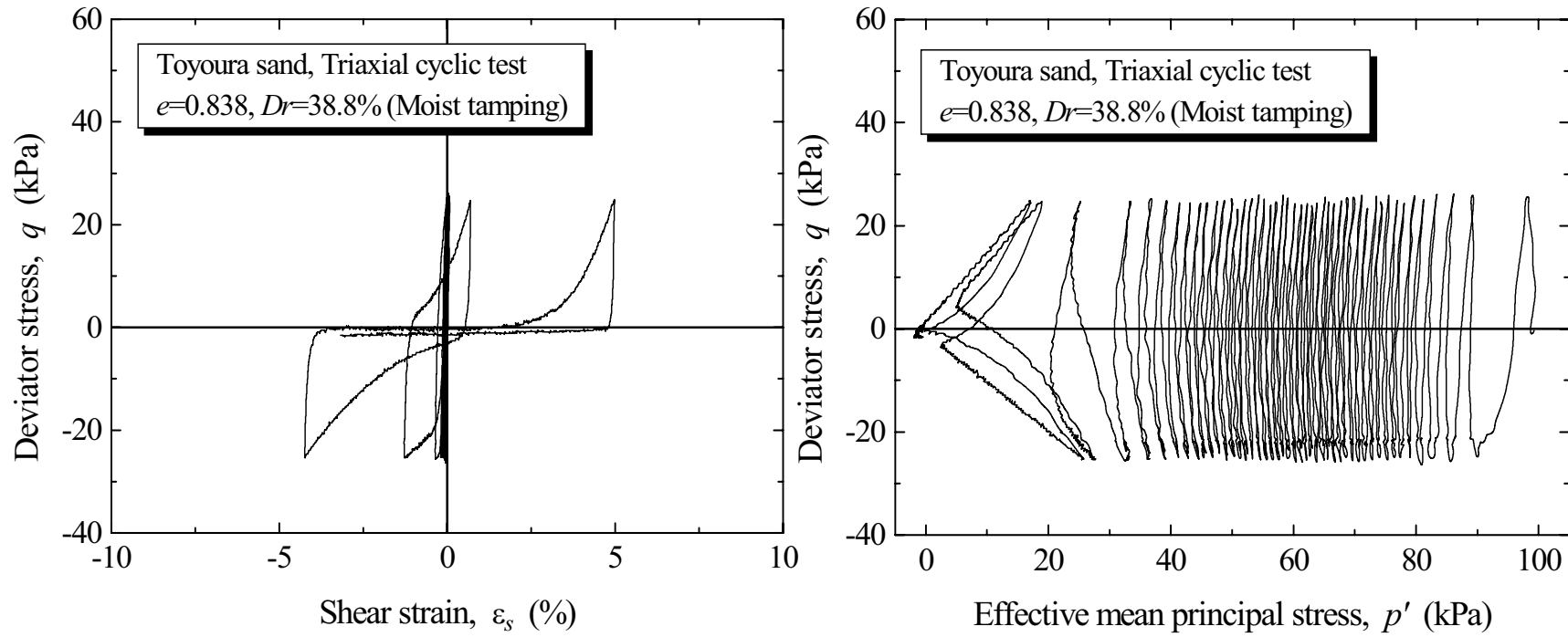
様々な土の圧密曲線

沈下メカニズムの概要(7)



砂の繰返しせん断による高密度化

沈下メカニズムの概要(8)



豊浦砂の非排水繰返せん断試験

ピサの斜塔(1)



ピサの斜塔(2)

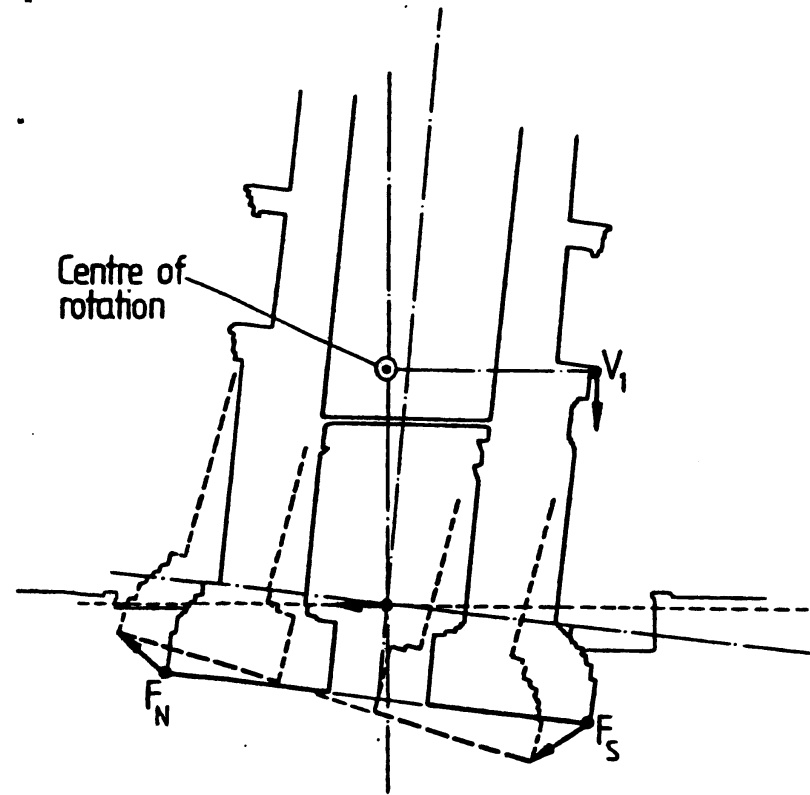


Fig. 4 Motion of the Tower during steady state creep-rotation

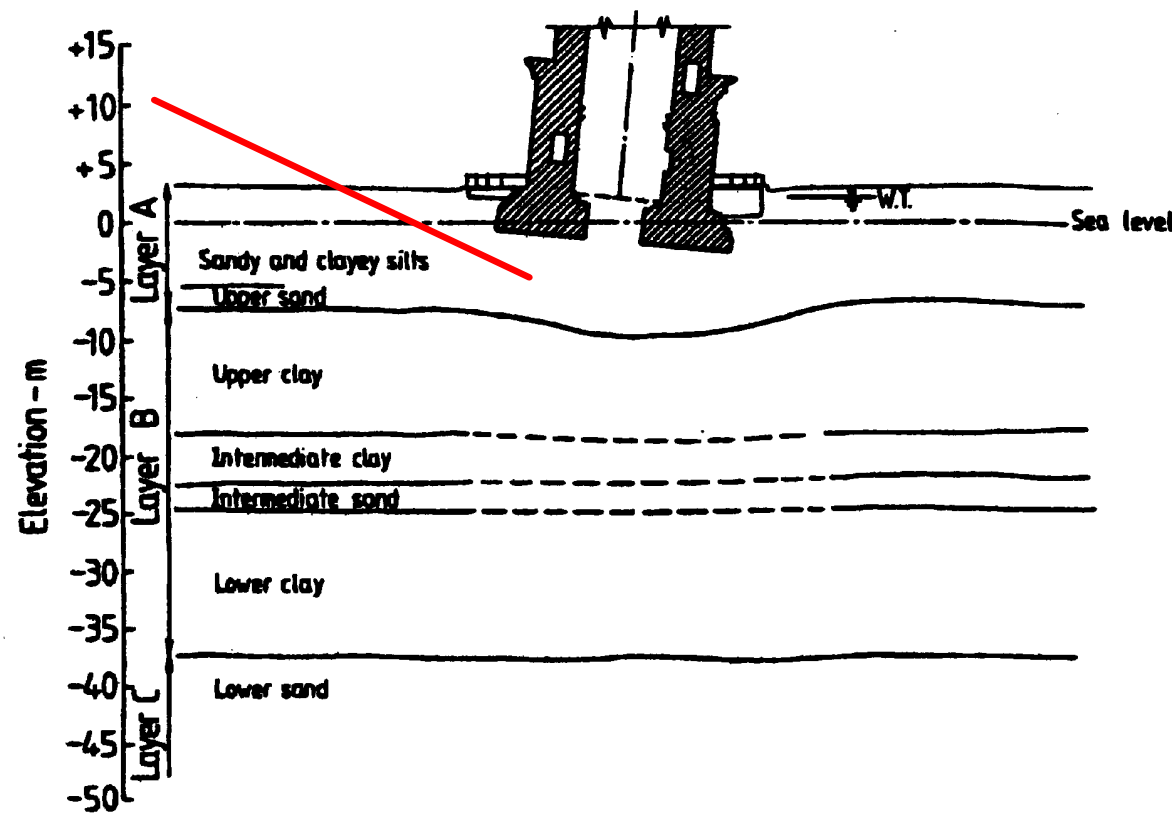
(Burland and Standing, 1996)

ピサの斜塔(3)



復旧作業状況

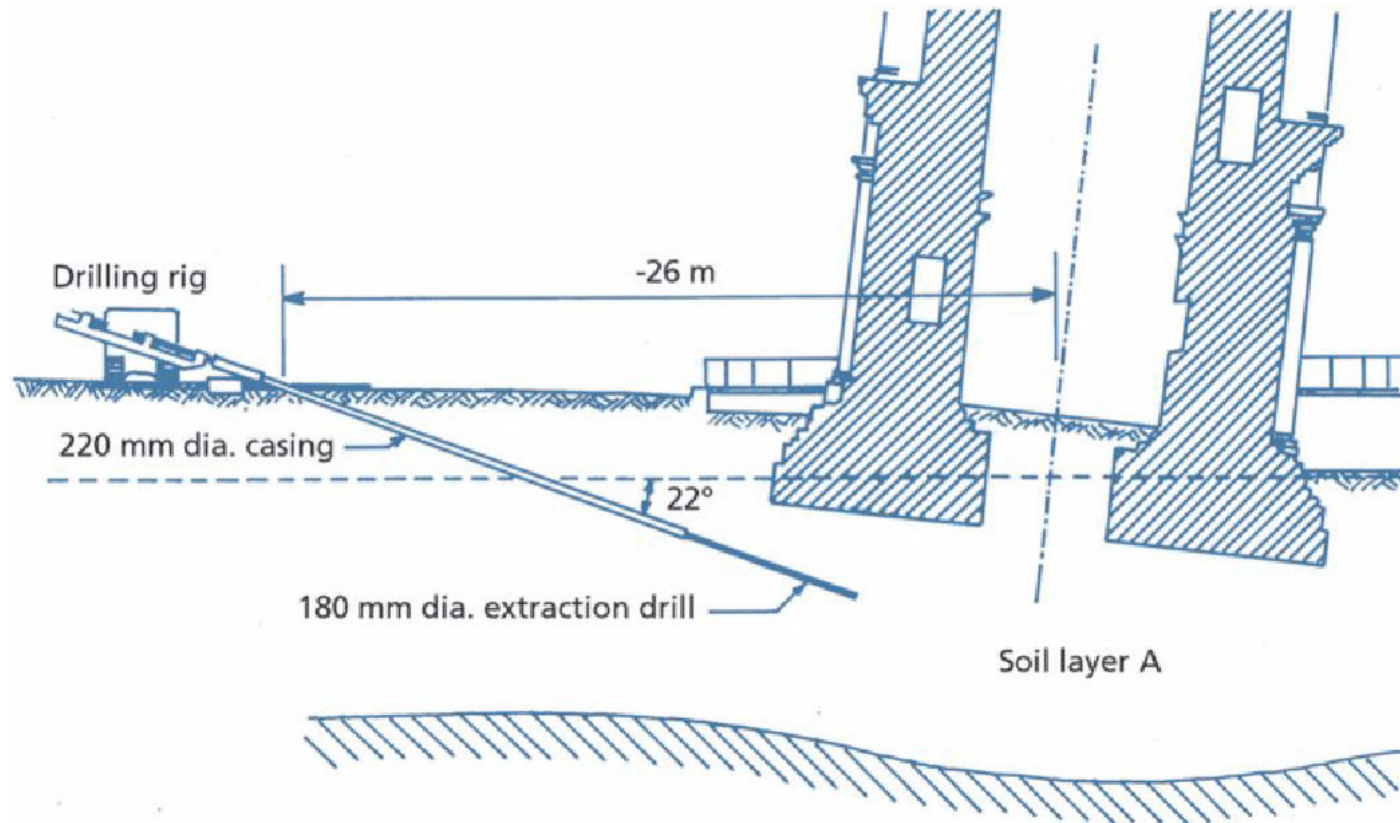
ピサの斜塔(4)



(Burland and Standing, 1996)

ドリルで土を除く？

ピサの斜塔(5)



(Burland and Standing, 1996)

ドリルで土を除く？

ピサの斜塔(6)

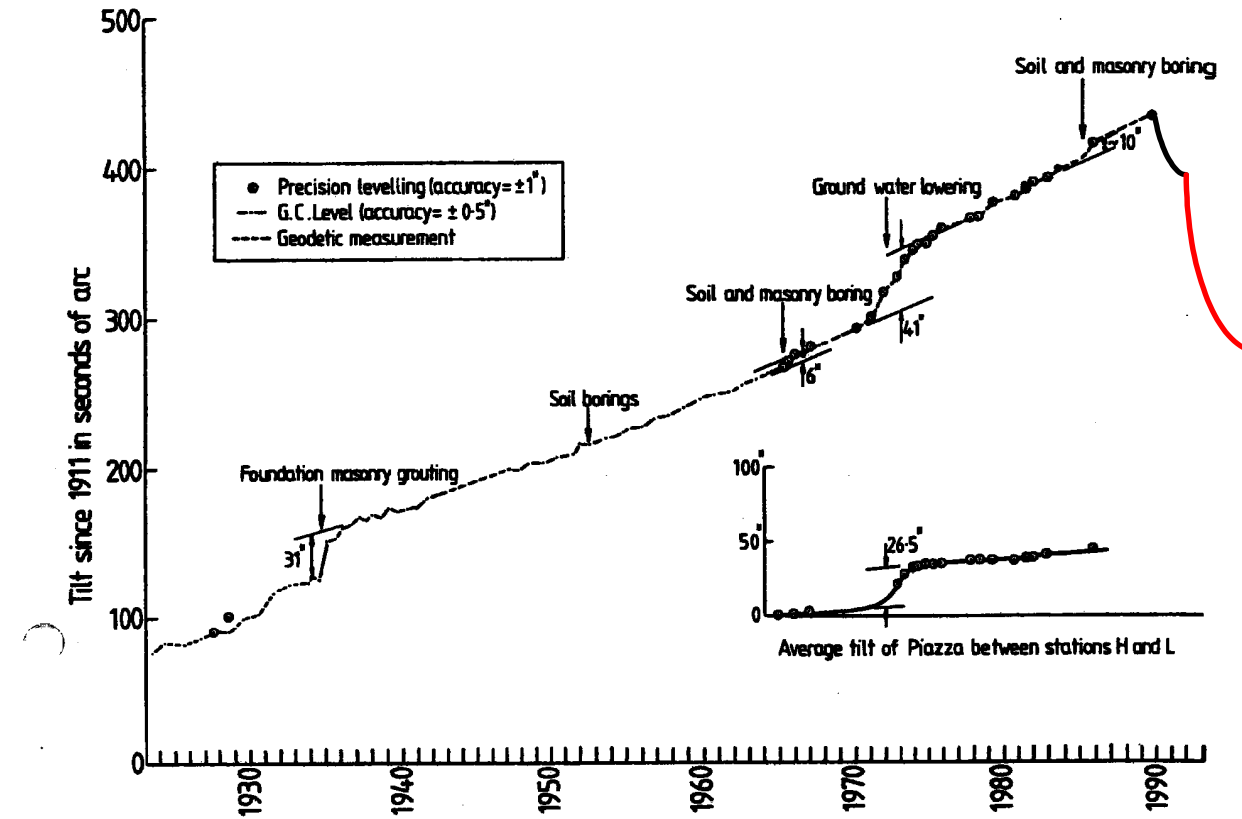
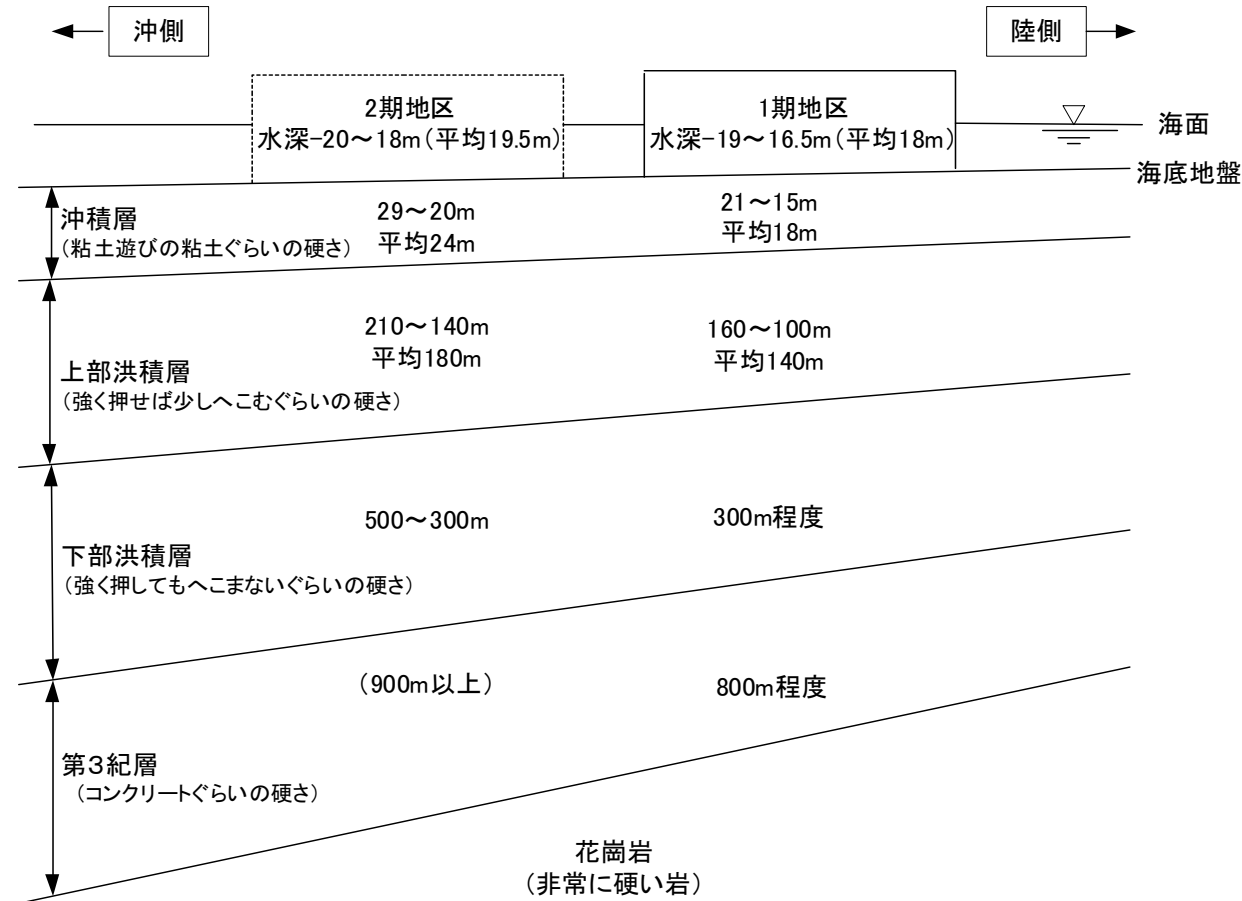


Fig. 3 Change in inclination of the foundations since 1911

(Burland and Standing, 1996)

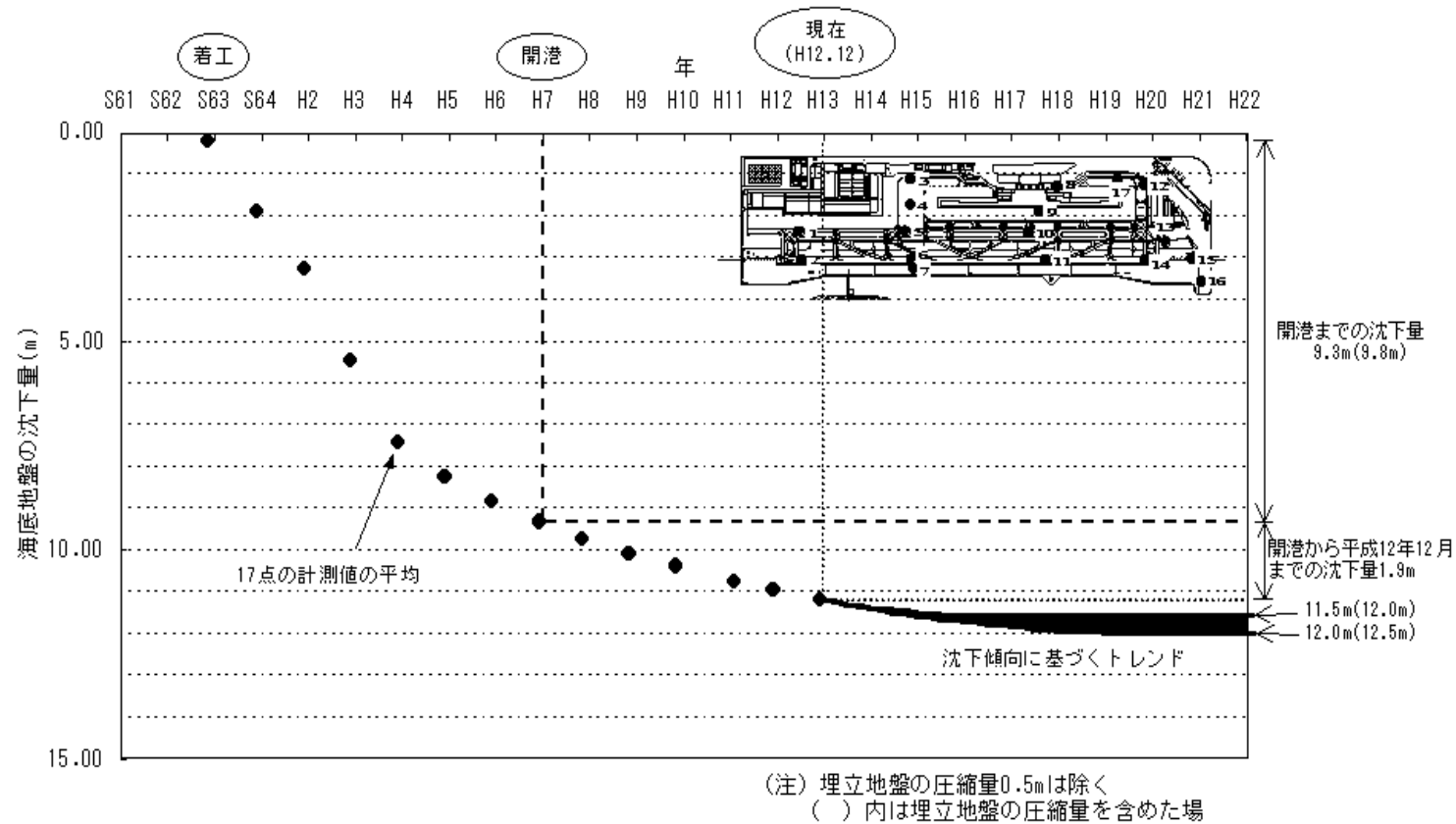
ピサの斜塔の傾きの変化

関西新国際空港(1)



関西新国際空港の海底地盤

関西新国際空港(2)

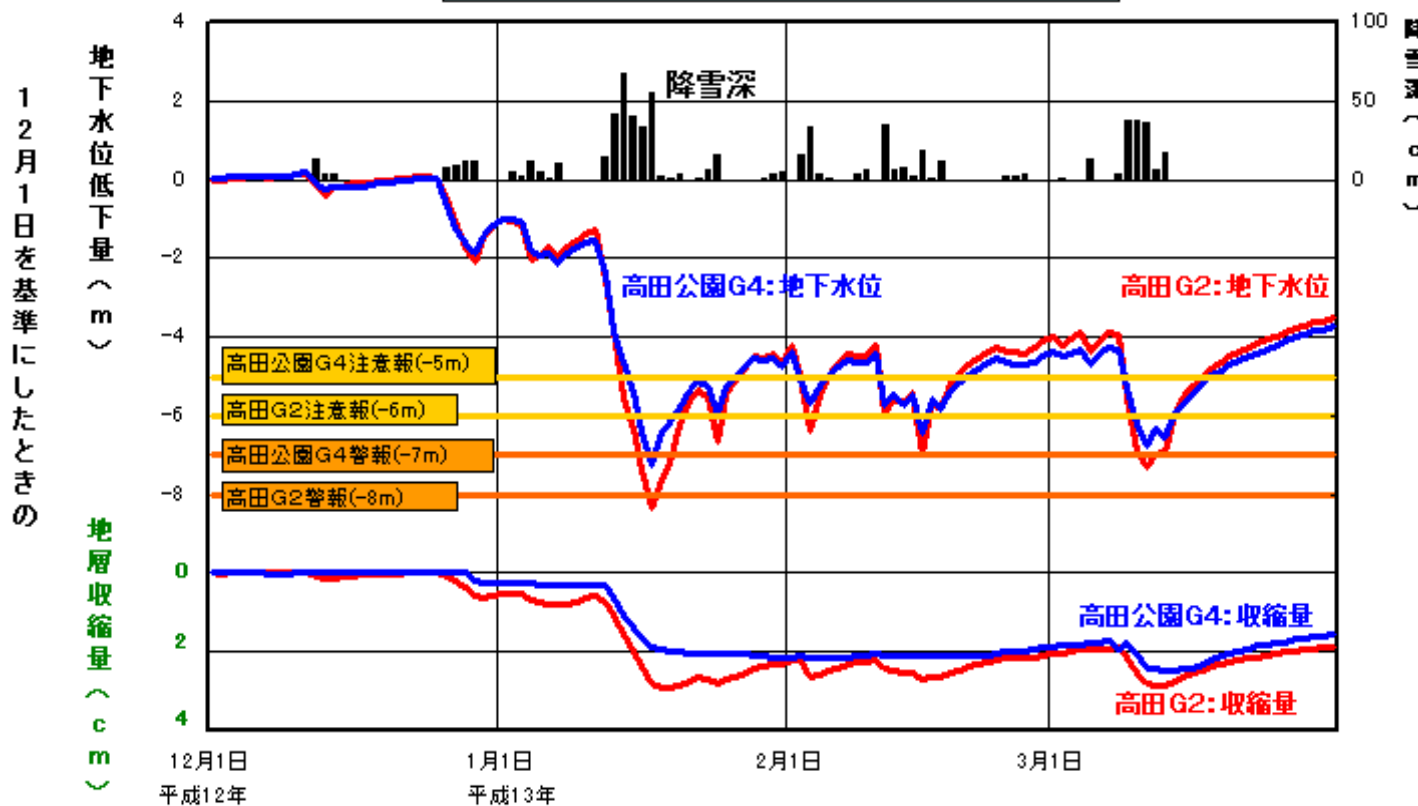


(<http://www.kansai-airport.or.jp/introduction/mecha/index.htm>)

関西新国際空港の沈下

地下水汲み上げ

平成12年度上越地域緊急時モニタリング
(上越市高田市街地の地下水位と地層の収縮量)



(<http://www.pref.niigata.jp/hokanken/jiban/takada.html>)

地下水汲み上げと地盤沈下

ロンドン地下鉄拡張(1)



重要な構造物が建ち並ぶ Westminster 地区

ロンドン地下鉄拡張(2)

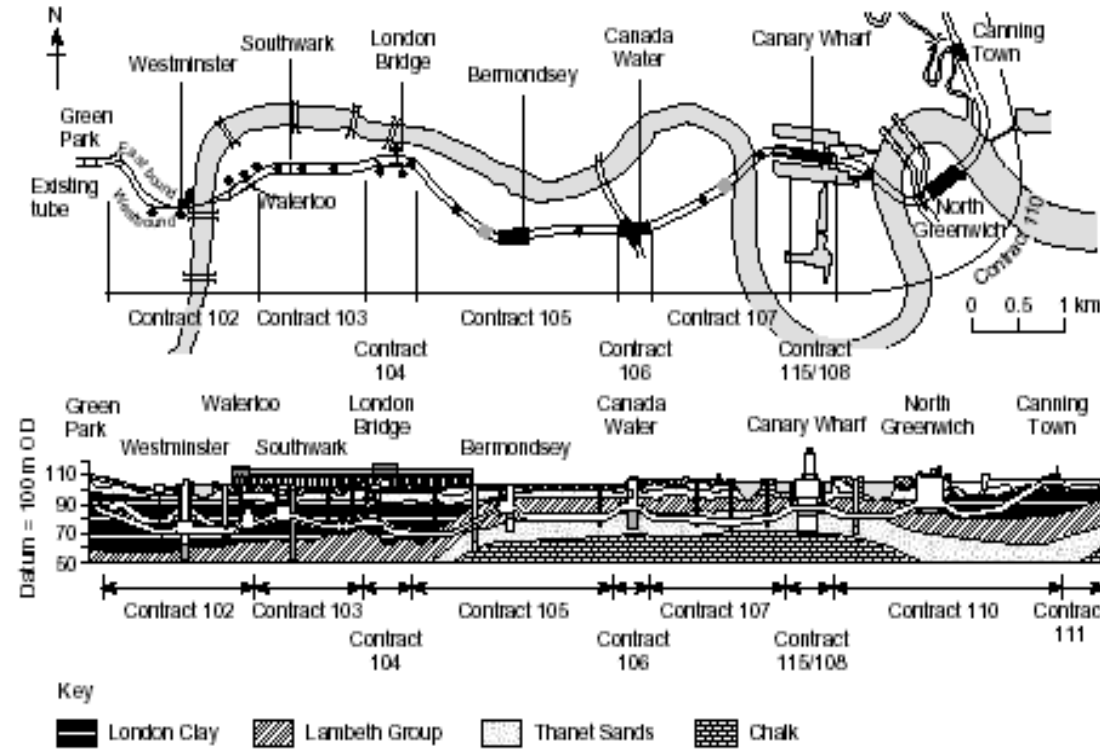


Figure 17.1 Location of research area where tunnelling was in the Lambeth Group and Thanet Sands

(Building response to tunnelling, Thomas Telford)

ロンドン地下鉄拡張路線図 (Jubilee ライン)

ロンドン地下鉄拡張(3)

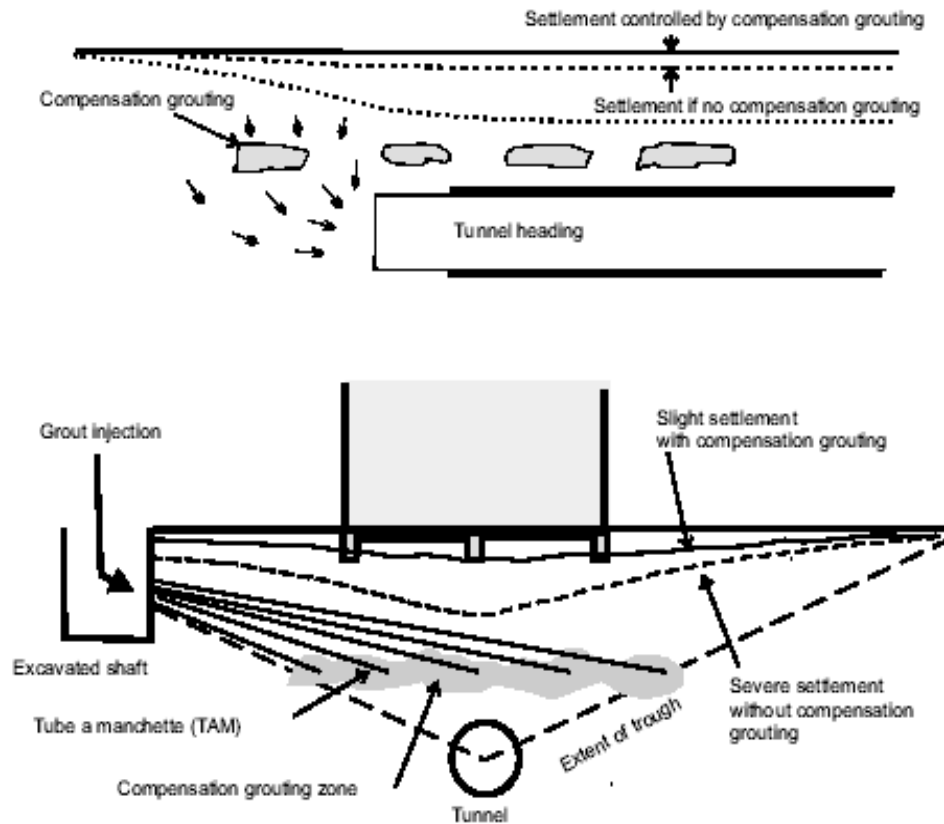


Figure 11.3 Principle of compensation grouting

(Building response to tunnelling, Thomas Telford)

グラウティング工法

ロンドン地下鉄拡張(4)

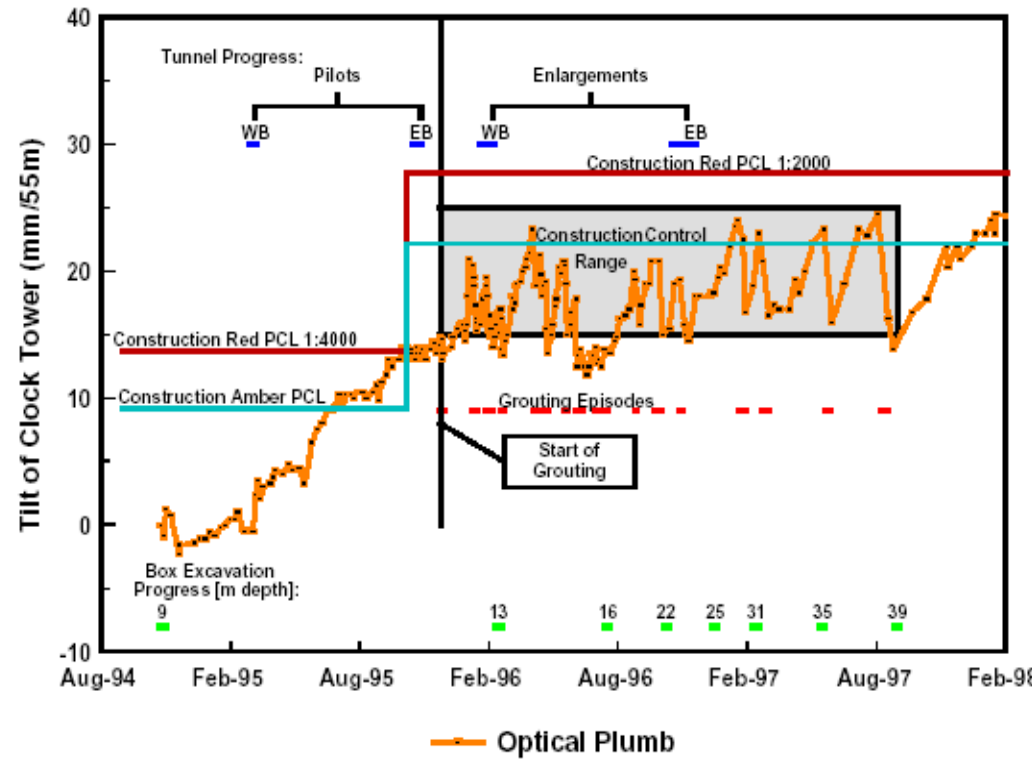


Figure 21.25 *Tilt of the Clock Tower measured by the optical plumb and controlled by compensation grouting*

(Building response to tunnelling, Thomas Telford)

ビッグ・ベンの傾き（グラウティング工法の効果）

兵庫県南部地震(1)

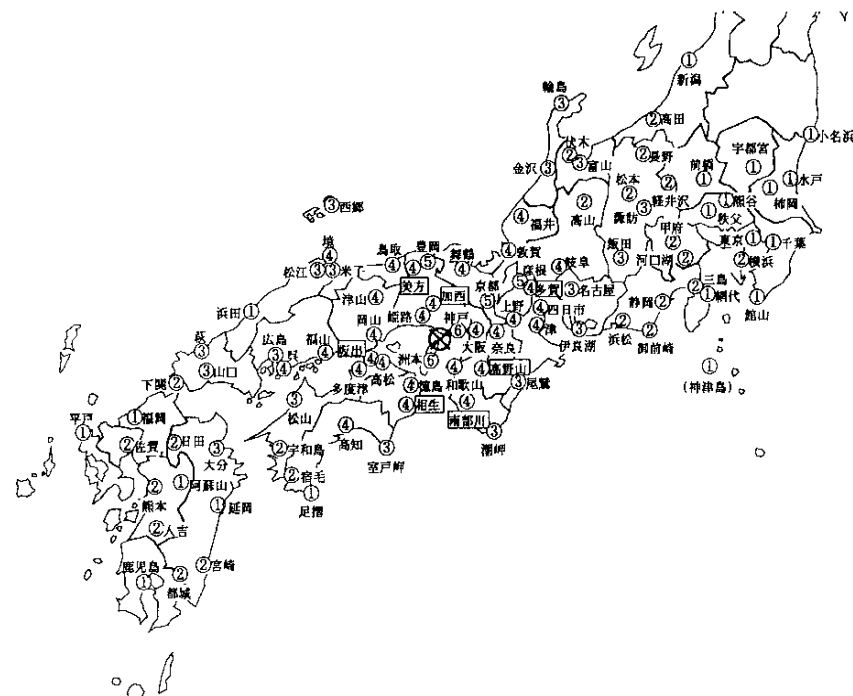


図-1.3 各地の震度¹⁾

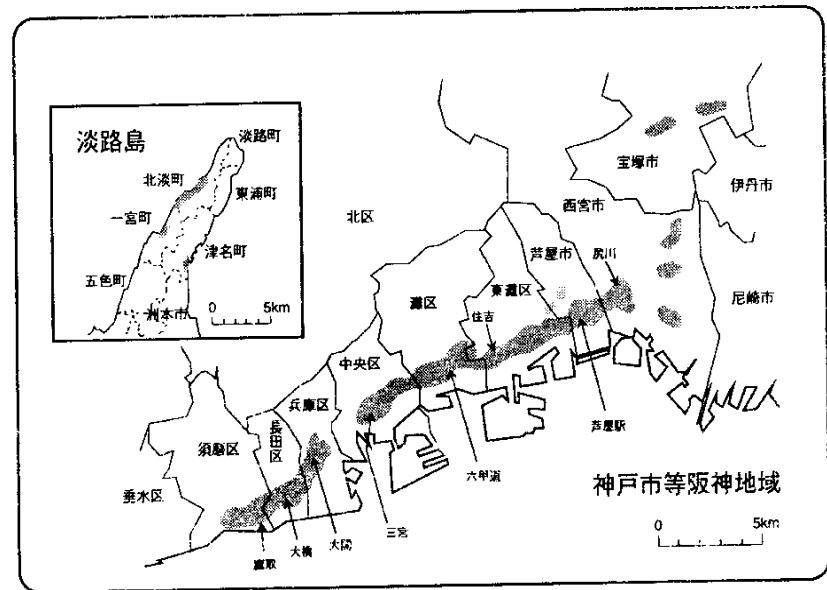


図-1.4 震度7の分布²⁾

(神戸市開発局, 報告書)

兵庫県南部地震概要

兵庫県南部地震(2)



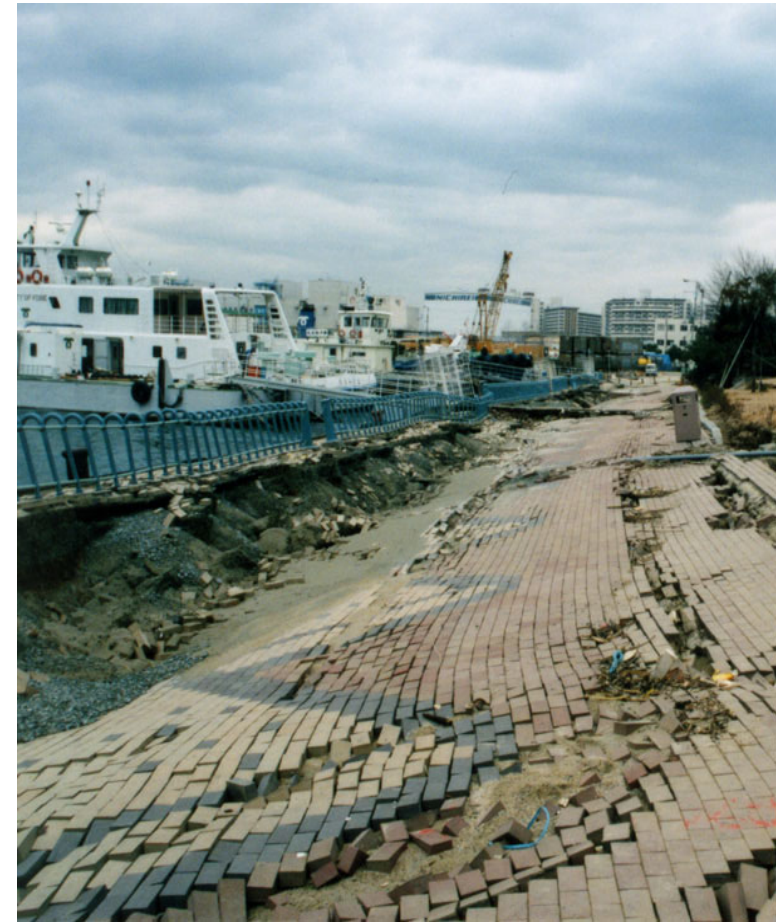
沈下と噴砂 (神戸ポートアイランド)

兵庫県南部地震(3)



基礎と沈下(神戸ポートアイランド)

兵庫県南部地震(4)



側方流動(神戸ポートアイランド)

兵庫県南部地震(5)



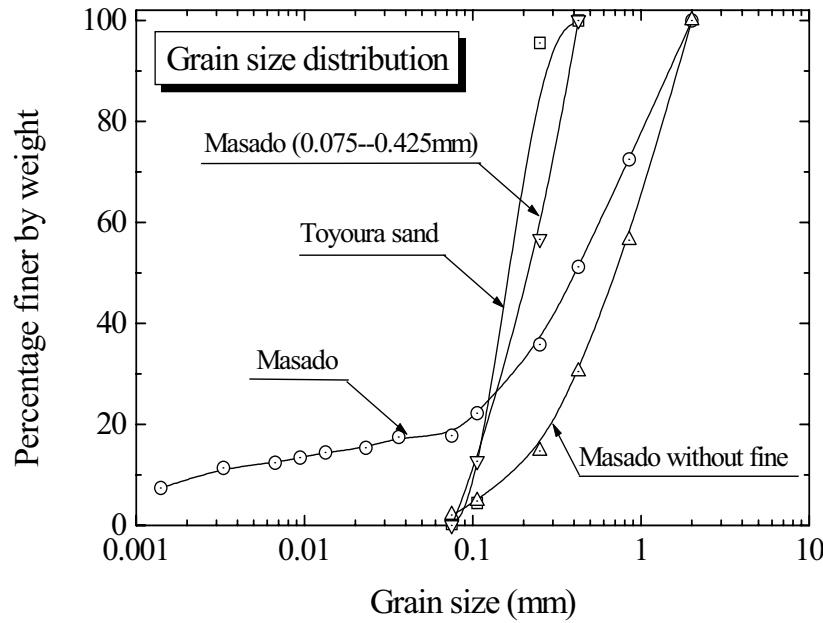
橋脚周辺の地盤 (神戸大橋，西宮大橋)

兵庫県南部地震(6)



構造物の被害(三宮周辺)

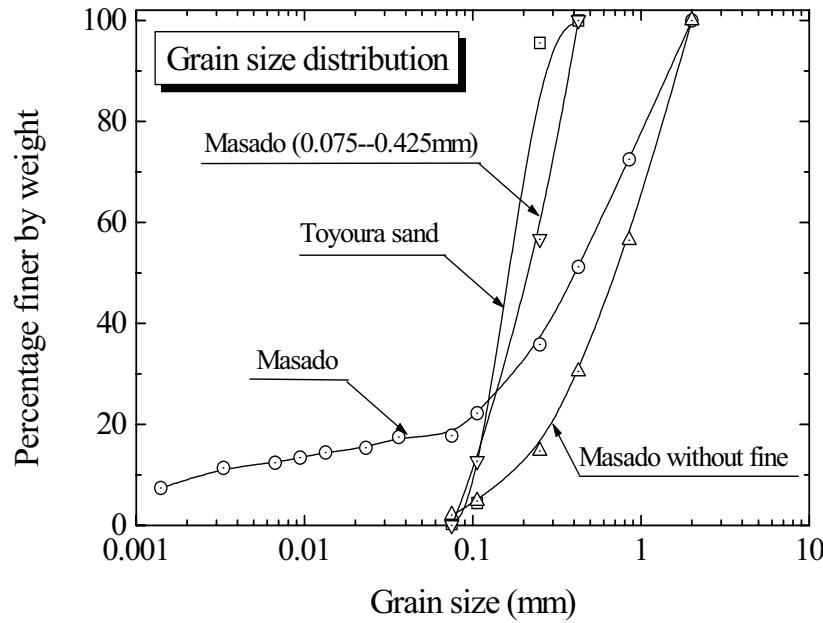
まさ土の特殊性(1)



● 細粒分の影響

粒度調整したまさ土

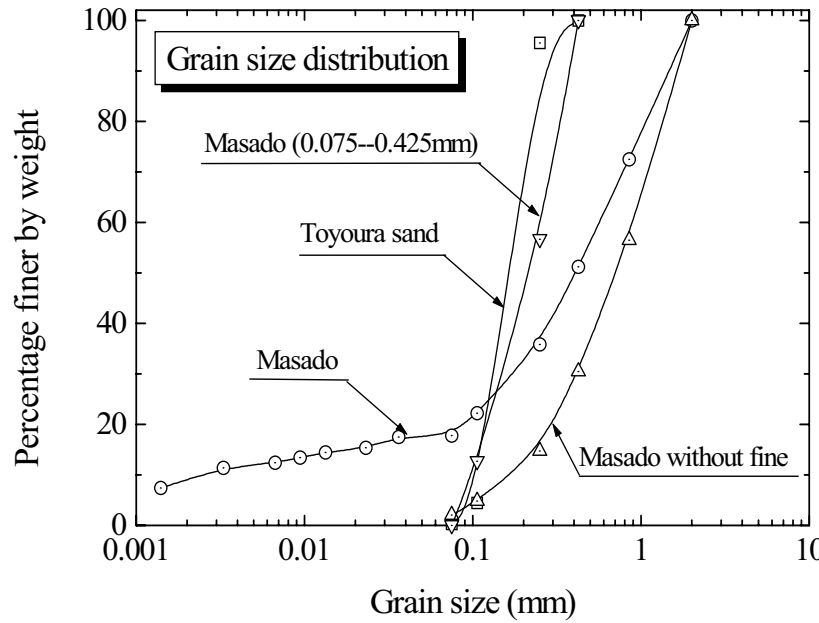
まさ土の特殊性(1)



- 細粒分の影響
- 粒子破碎の影響

粒度調整したまさ土

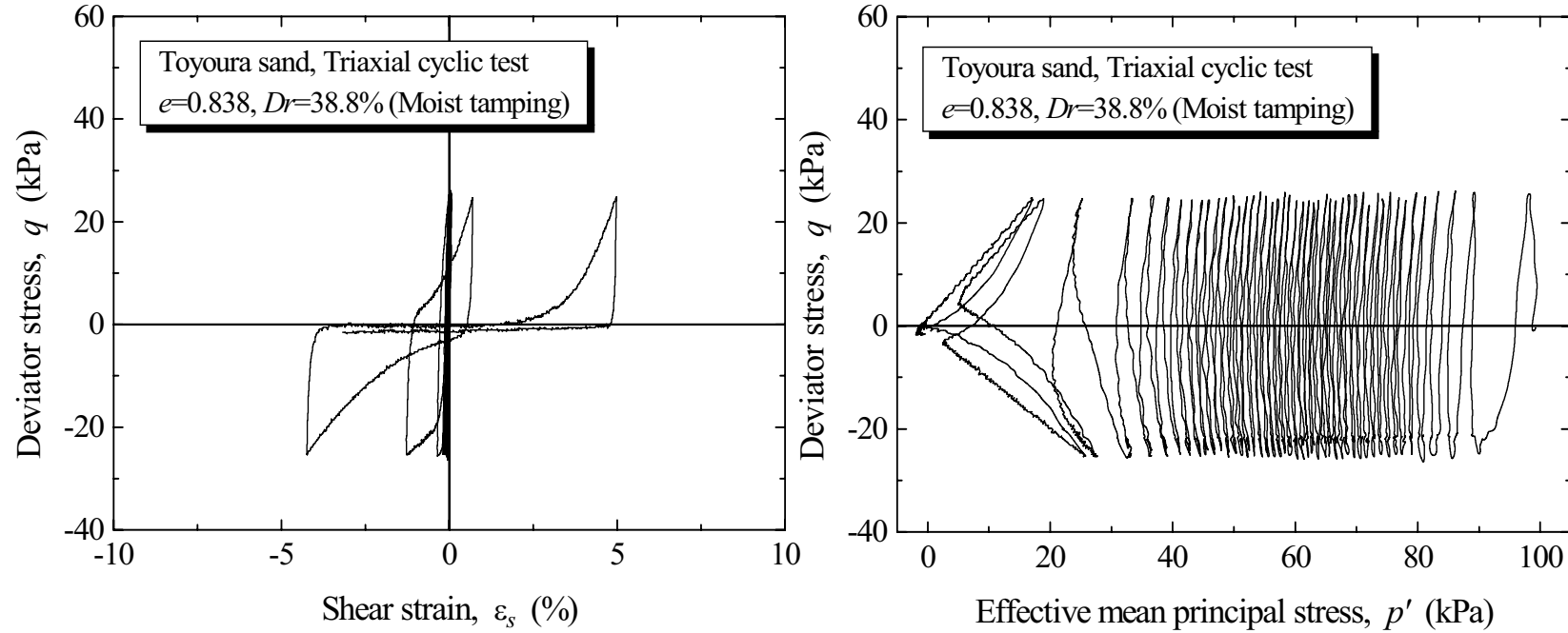
まさ土の特殊性(1)



- 細粒分の影響
- 粒子破碎の影響
- 粒度分布の影響

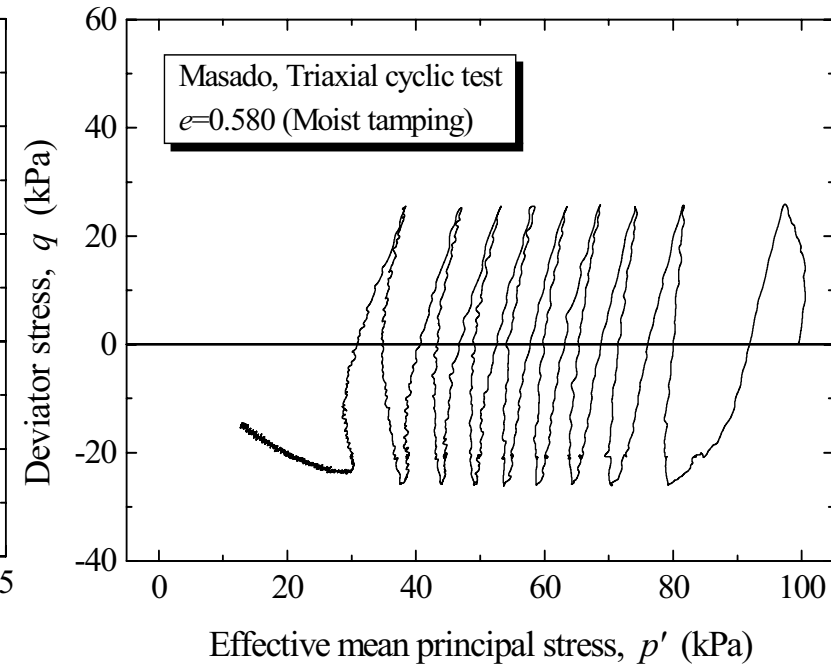
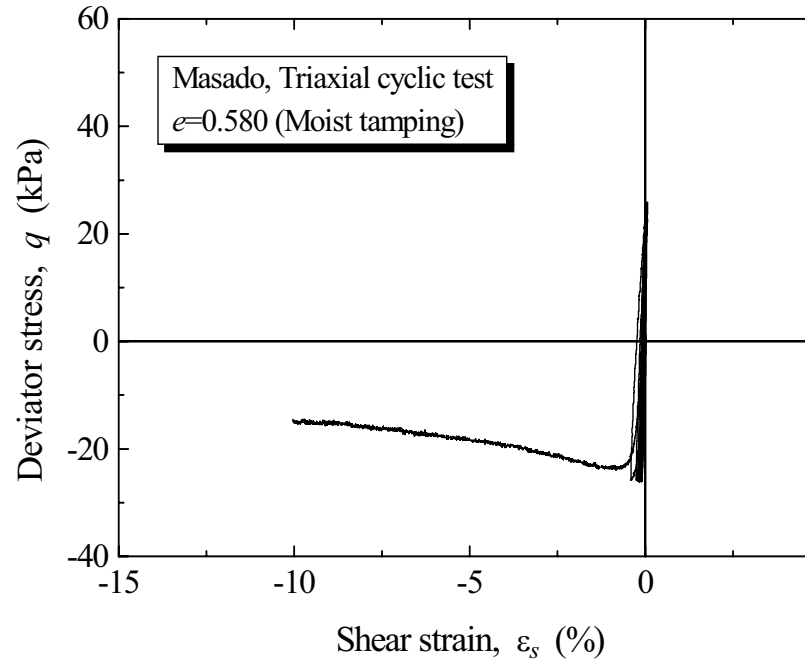
粒度調整したまさ土

まさ土の特殊性(2)



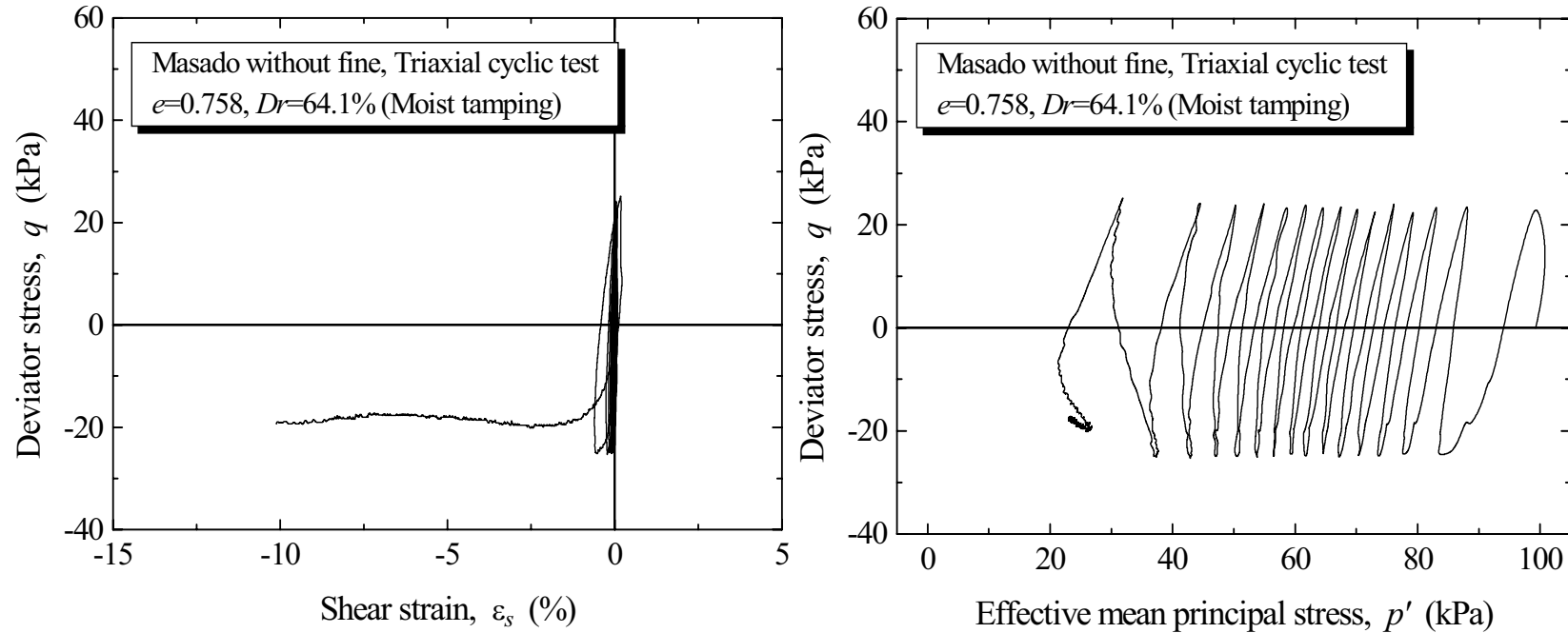
豊浦砂の非排水繰返せん断試験

まさ土の特殊性(3)



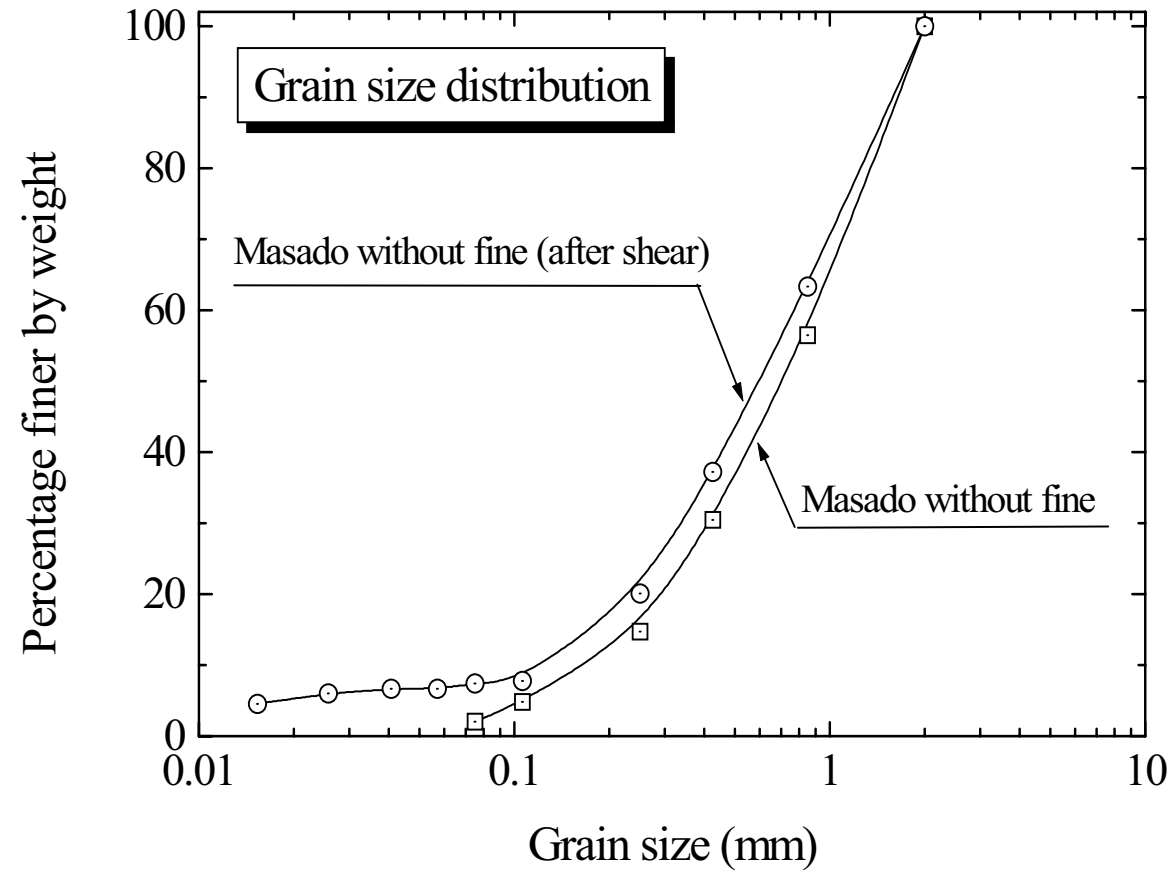
まさ土の非排水繰返せん断試験

まさ土の特殊性(4)



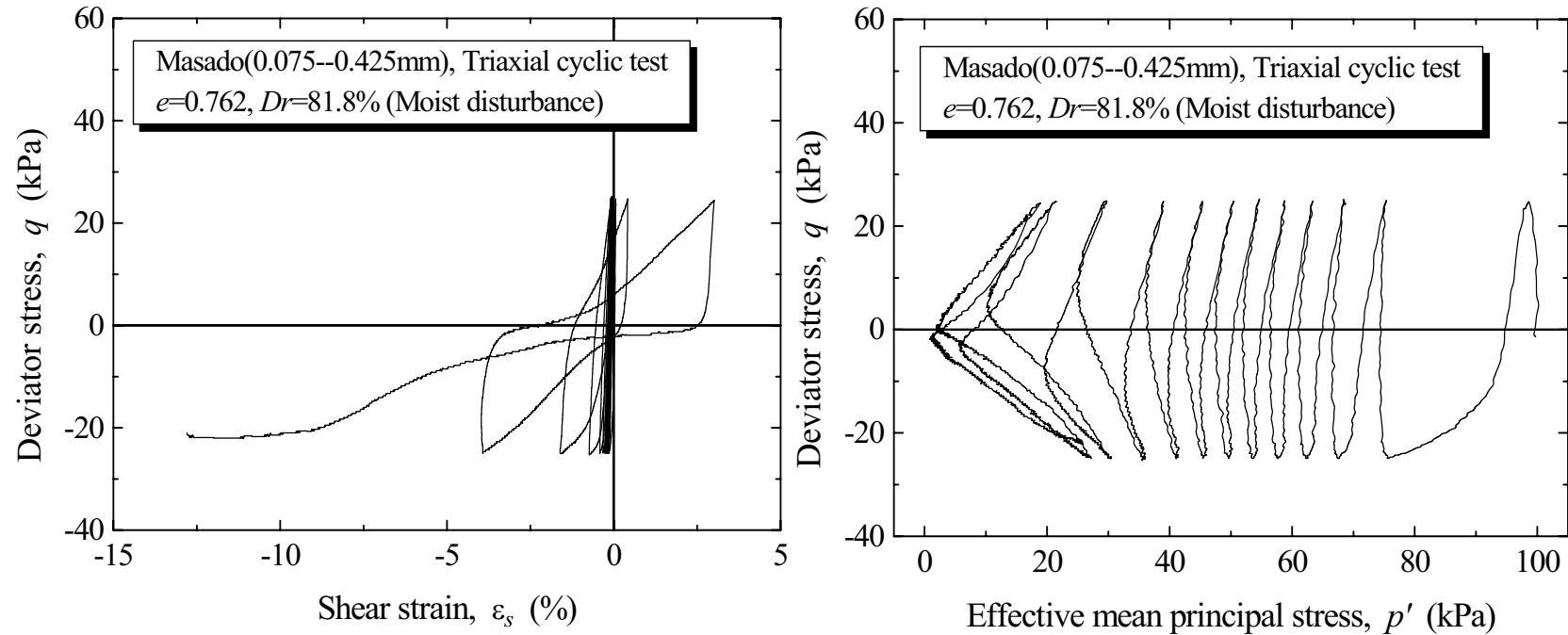
細粒分なしまさ土の非排水繰返しせん断試験

まさ土の特殊性(5)



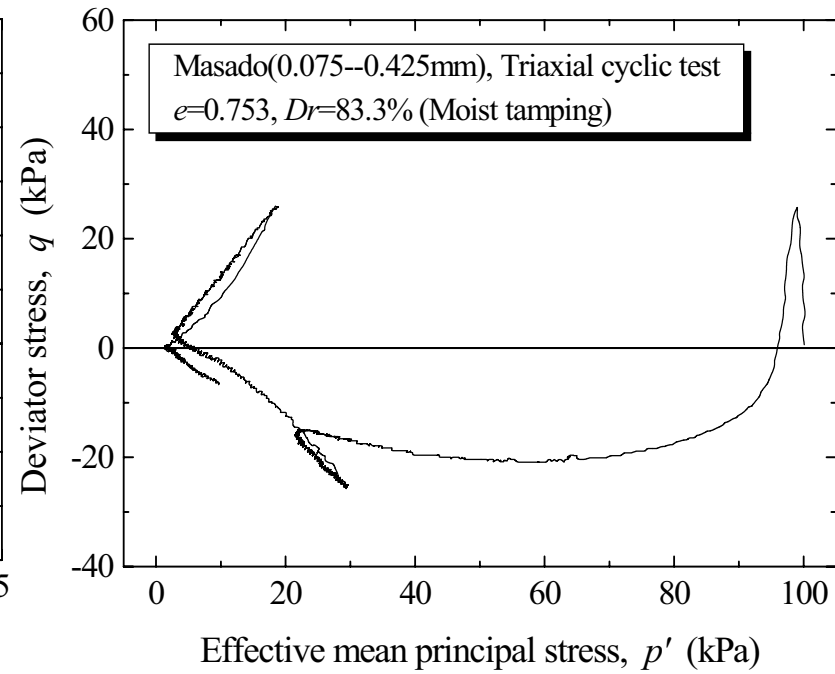
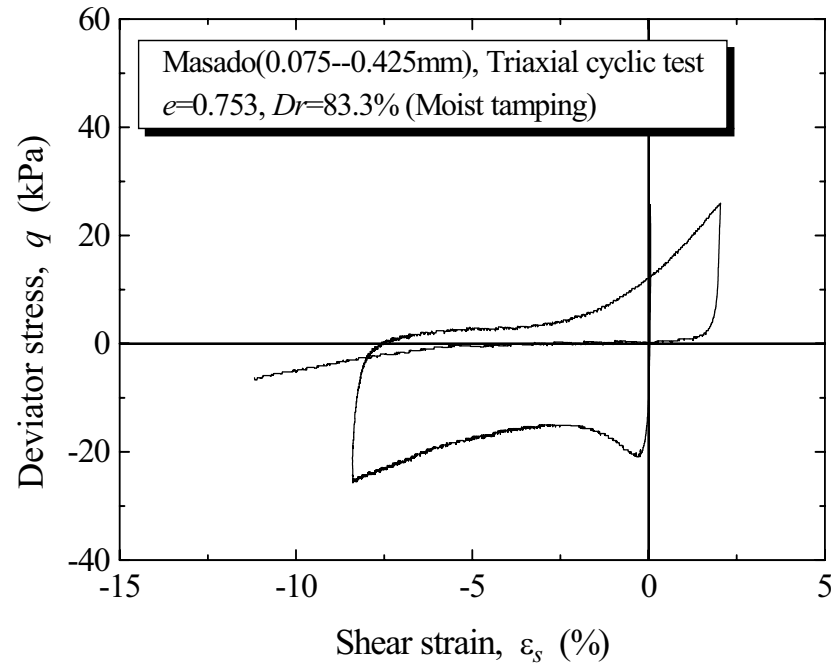
実験後のまさ土の粒径加積曲線

まさ土の特殊性(6)



均等粒径まさ土の非排水繰返せん断試験

まさ土の特殊性(7)



均等粒径まさ土の固有異方性

終わり

The end

